

УДК 546.711.620.18

## ЛОКАЛЬНАЯ СТРУКТУРА КАРКАСНЫХ МАНГАНИТОВ



© 2002 г. Е. А. Померанцева, Д. М. Иткис, И. А. Пресняков, Е. А. Гудилин,  
Дж. Хестер, член-корреспондент РАН Н. Н. Олейников, академик Ю. Д. Третьяков

Поступило 27.06.2002 г.

Разнообразие современных Mn-содержащих оксидных материалов [1–5] обусловлено способностью марганца образовывать сложные каркасные и туннельные структуры, состоящие, как правило, из сочлененных определенным образом октаэдров  $\text{MnO}_6$ . Различная архитектура того или иного типа марганец-кислородного каркаса и его общий заряд определяются концентрацией и типом катионов, размещающихся в пустотах такой структуры. При этом присутствие марганца одновременно в разных степенях окисления и возможность электронного обмена между катионами  $\text{Mn}^{3+}$  и  $\text{Mn}^{4+}$  приводят в ряде случаев к возможности спинового и зарядового упорядочения, обуславливающего возникновение целого спектра физических свойств, интересных для практического применения [1]. Типичным примером являются манганиты со структурой перовскита  $\text{Ln}_{1-x}\text{A}_x\text{MnO}_3$ , проявляющие эффект колосального магнетосопротивления (КМС, Ln – катион редкоземельного элемента, A – двухзарядный катион) [2]. Особый класс составляют твердые растворы со структурой искаженного перовскита  $\text{Ca}(\text{Mn}, \text{Cu})_7\text{O}_{12}$  (рис. 1), проявляющие эффект КМС в малых магнитных полях, механизм которого отличается от общепринятого [4, 5]. Оксиды марганца  $\text{A}_{2-x}\text{Mn}_{8-x}\text{O}_{16}$  (A =  $\text{Ba}^{2+}$ ,  $\text{Pb}^{2+}$ ,  $\text{K}^+$ ,  $\text{Rb}^+$  и т.д.) с оригинальными структурами, родственными голландиту, применяются в качестве твердых электролитов и суперионных проводников [3].

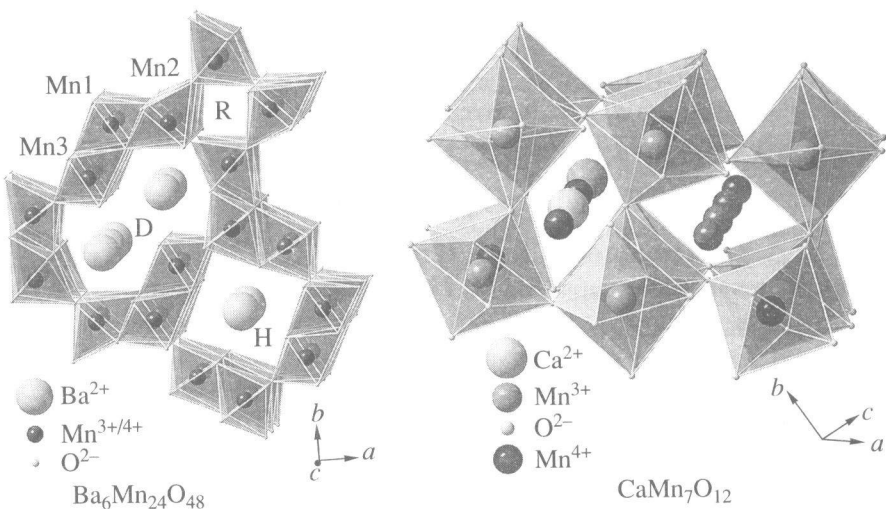
Для детального исследования механизмов явлений, определяющих практическое использование манганиевых материалов, необходимо установление взаимосвязи между локальными искажениями структуры и особенностями проявляемых манганиами физических свойств. Большинство исследований в этой области проводилось для фаз состава  $\text{Ln}_{1-x}\text{A}_x\text{MnO}_3$ , при этом исследования

ограничивались, как правило, изучением магнетотранспортных характеристик в зависимости от распределения и общего соотношения катионов  $\text{Mn}^{3+}$  и  $\text{Mn}^{4+}$ , относительные количества которых варьировались путем гетеровалентного легирования [6, 7]. В то же время поведению марганец-кислородного каркаса в литературе уделяется значительно меньшее внимание.

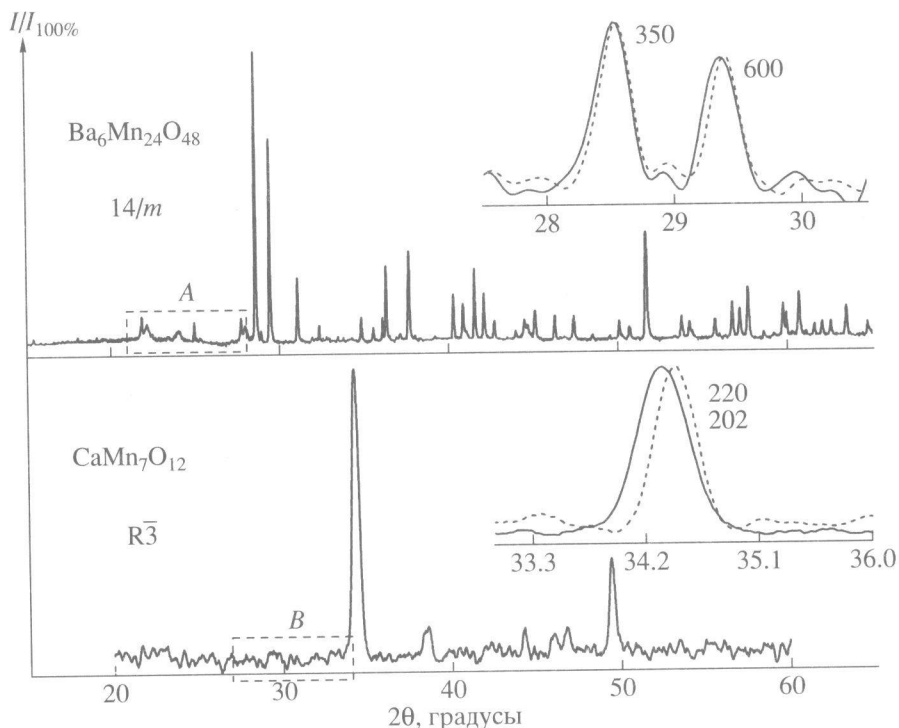
Одним из наиболее эффективных методов, позволяющих одновременно исследовать локальную структуру и спин-зарядовые упорядочения в неорганических соединениях, является зондовая мессбауэровская спектроскопия [5–7]. В настоящей работе этот метод впервые применен для исследования локальной структуры обогащенных марганцем каркасных фаз  $\text{Ba}_6\text{Mn}_{24}\text{O}_{48}$  и  $\text{CaMn}_7\text{O}_{12}$ , содержащих в качестве зондовых атомов микроколичества  $^{57}\text{Fe}$ . В работе проведен критический анализ возможного характера локальных искажений металлооксидных полимеров и их взаимосвязи со структурой дальнего порядка (кристаллической структурой) рассматриваемых фаз. Полученные результаты свидетельствуют о высокой эффективности применения метода мессбауэровской спектроскопии для анализа локальной структуры манганитов.

Синтез образцов  $\text{Ba}_6\text{Mn}_{23.76}\text{Fe}_{0.24}\text{O}_{48}$  и  $\text{CaMn}_{6.86}\text{Fe}_{0.14}\text{O}_{12}$  проводили модифицированным керамическим методом, что позволило добиться однородного распределения зондовых атомов в кристаллической матрице. В качестве исходных реагентов использовали  $\text{CaCO}_3$ ,  $\text{BaCO}_3$ ,  $\text{Mn}_2\text{O}_3$  и  $^{57}\text{Fe}$ .  $\text{Mn}_2\text{O}_3$  предварительно выдерживали при  $700^\circ\text{C}$  на воздухе в течение нескольких часов для разложения возможных примесей гидроксидов и соединений Mn(IV). Реагенты смешивали в заданном стехиометрическом соотношении и растворяли в концентрированной азотной кислоте в присутствии восстановливающего агента – перекиси водорода. Полученный раствор упаривали в широкой фарфоровой чашке и прокаливали при  $\sim 350$ – $450^\circ\text{C}$ . Из полученной оксидной шихты прессовали таблетки, изотермический отжиг которых проводили при  $850^\circ\text{C}$  в случае  $\text{CaMn}_{6.86}\text{Fe}_{0.14}\text{O}_{12}$ .

Московский государственный университет  
им. М.В. Ломоносова  
Организация по ядерным исследованиям  
и технологиям, Австралия



**Рис. 1.** Фрагменты кристаллических структур мanganитов  $\text{CaMn}_7\text{O}_{12}$  и  $\text{Ba}_6\text{Mn}_{24}\text{O}_{48}$ . Каркас  $\text{CaMn}_7\text{O}_{12}$  содержит в туннелях катионы  $\text{Ca}^{2+}$  и  $\text{Mn}^{3+}$ . Ионы  $\text{Mn}^{3+}$  находятся также в искаженных октаэдрах  $\text{MnO}_6$ , расположенных в вершинах элементарной ячейки, а  $\text{Mn}^{4+}$  размещаются только в идеально-октаэдрических позициях ( $\text{Mn}^{3+}/\text{Mn}^{4+} = 6/1$ ). Для каркаса  $[\text{Mn}_{24}\text{O}_{48}]_{\infty}$  фазы  $\text{Ba}_6\text{Mn}_{24}\text{O}_{48}$  дана проекция на плоскость (001) (по данным [3]).



**Рис. 2.** Дифрактограммы каркасных мanganитов  $\text{CaMn}_7\text{O}_{12}$  и  $\text{Ba}_6\text{Mn}_{24}\text{O}_{48}$ . На врезках приведены увеличенные участки спектров, включающие наиболее интенсивные пики исходных соединений и этих же соединений, легированных  $^{57}\text{Fe}$ , для проведения мессбауэровских исследований. Пунктирной линией обведены участки спектров однофазных образцов, для которых может быть характерно наличие рефлексов, связанных с композитным типом элементарной ячейки (A) или наличие пиков примесных фаз (B).

( $p_{\text{O}_2} = 1$  атм) или при  $950^\circ\text{C}$  в случае  $\text{Ba}_6\text{Mn}_{23.76}\text{Fe}_{0.24}\text{O}_{48}$  ( $p_{\text{O}_2} = 0.21$  атм) в течение 50–100 ч.

Однофазность образцов контролировали с помощью рентгенофазового анализа (дифракто-

метр STOE, излучение  $\text{Cu}K_{\alpha 1}$ , просвечивающий режим, шаг  $0.01^\circ$ – $0.03^\circ$ , экспозиция 0.5 с, диапазон углов  $2\Theta = 20$ – $70^\circ$ ) и фокусирующей камеры Гинье FR-552 ( $\text{Cu}K_{\alpha 1}$ , внутренний эталон – германний, расчет параметров решетки с использованием

ем пакета стандартных программ). Дифрактограмму образца  $\text{Ba}_6\text{Mn}_{23.76}\text{Fe}_{0.24}\text{O}_{48}$  высокого качества снимали также с использованием синхротронного излучения (длина волны 1.102 Å, шаг 0.01°, ANBF КЕК, Цукуба, Япония). Магнитную восприимчивость измеряли в интервале 17–100 К при частоте 27 Гц в нулевом магнитном поле. Измерения мессбауэровских спектров  $^{57}\text{Fe}$  проводили на спектрометре электродинамического типа при комнатной температуре. В качестве источника использовали  $^{57}\text{Co}$ , нанесенный на родиевую подложку. Значения изомерных сдвигов рассчитывали относительно  $\alpha\text{-Fe}$ .

Оптимизация методики синтеза [8] позволила получить однофазные образцы исследуемых мanganитов. Исходные нелегированные образцы кристаллизовались в тетрагональной ( $\text{Ba}_6\text{Mn}_{24}\text{O}_{48}$ ) или ромбоэдрической ( $\text{CaMn}_7\text{O}_{12}$ ) сингонии (рис. 2), при этом параметры их решетки соответствовали литературным данным ( $a = 18.233(2)$  Å,  $2.844(1)$  Å [3],  $a = 6.385(1)$  Å,  $\alpha = 109.55(2)$ ° [5]). Для образцов  $\text{CaMn}_{6.86}^{57}\text{Fe}_{0.14}\text{O}_{12}$  и  $\text{Ba}_6\text{Mn}_{23.76}^{57}\text{Fe}_{0.24}\text{O}_{48}$  не было отмечено образования примесных фаз (рис. 2, участки A и B), что свидетельствует о встраивании зондовых атомов в структуру мanganитов. При этом в случае  $\text{CaMn}_{6.86}^{57}\text{Fe}_{0.14}\text{O}_{12}$  происходит небольшое изменение параметров решетки ( $a = 6.390(1)$  Å,  $\alpha = 109.59(1)$ °). Для однофазных образцов  $\text{Ba}_6\text{Mn}_{23.76}\text{Fe}_{0.24}\text{O}_{48}$  наблюдалось, как и в [3], образование неиндцируемых в рамках тетрагональной сингонии рефлексов (рис. 2, участок A), существование которых может быть связано с композитным характером ячейки этого соединения [3].

Анализ экспериментальных мессбауэровских спектров, измеренных в парамагнитной области температур ( $T > T_N$ ) (рис. 3, вставки), проводили с применением двух моделей: дискретной суперпозиции нескольких квадрупольных дублетов с уширенными компонентами и модели непрерывного распределения ( $P$ ) градиентов электрических полей ( $q$ ) на ядрах  $^{57}\text{Fe}$ . Значения параметров подспектров, полученных в результате обработки в рамках дискретной модели, приведены в табл. 1. Несмотря на присутствие около 10–15% или около 50% Mn(IV) в соединениях  $\text{CaMn}_{6.86}^{57}\text{Fe}_{0.14}\text{O}_{12}$  и  $\text{Ba}_6\text{Mn}_{23.76}^{57}\text{Fe}_{0.24}\text{O}_{48}$  соответственно величины химических сдвигов всех подспектров для обоих дипированных мanganитов отвечают катионам железа с формальной степенью окисления +3 (табл. 1). Этот результат согласуется с мессбауэровскими исследованиями других типов мanganитов [6, 7].

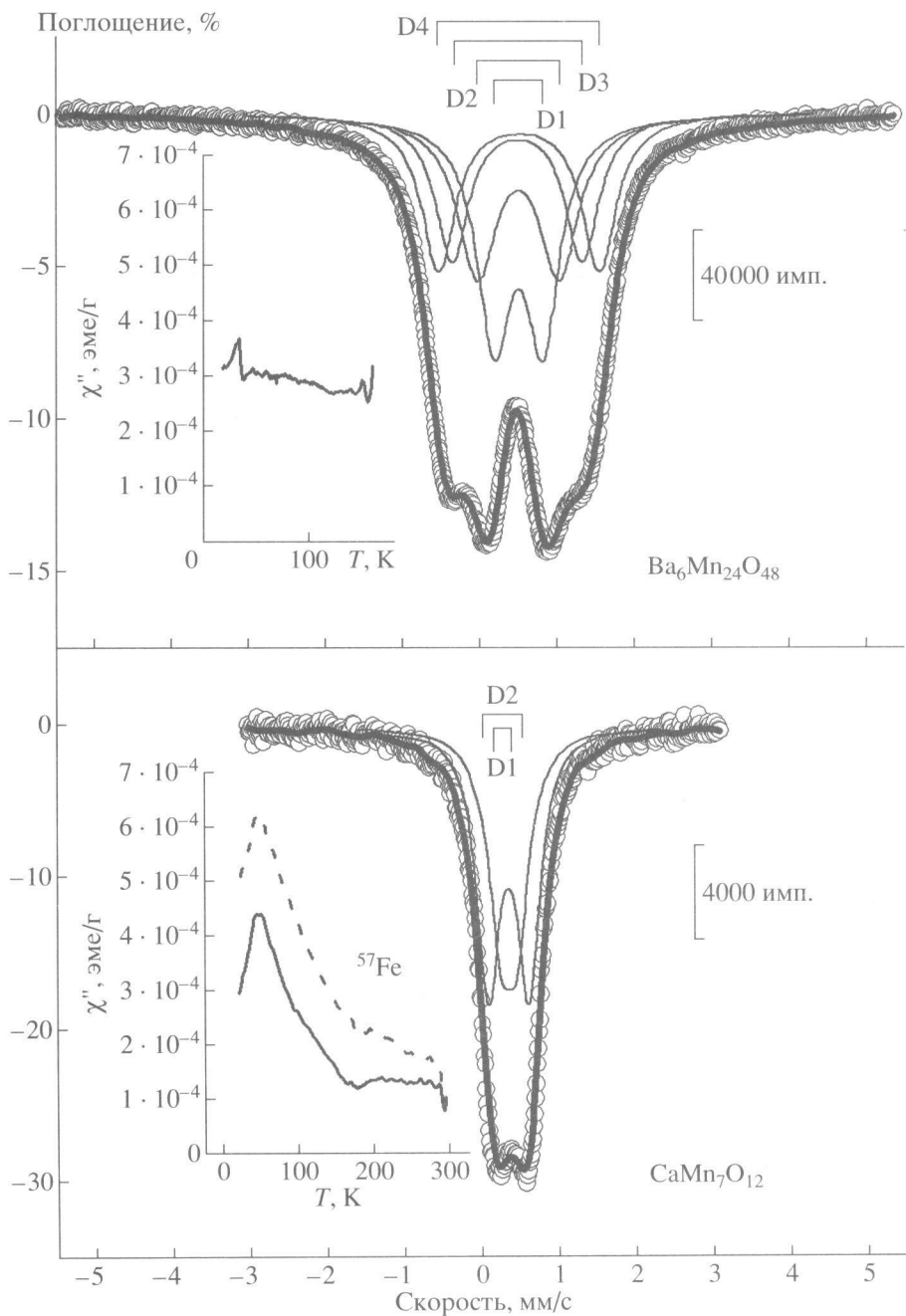
Спектр образца  $\text{CaMn}_{6.86}^{57}\text{Fe}_{0.14}\text{O}_{12}$  при  $T = 300$  К, обработанный в рамках дискретной модели, представляет собой суперпозицию дублетов D1 и D2 с близкими значениями химических сдвигов, но различными квадрупольными расщеплениями

**Таблица 1.** Экспериментальные характеристики компонент мессбауэровских спектров  $\text{Ba}_6\text{Mn}_{24}\text{O}_{48}$  и  $\text{CaMn}_7\text{O}_{12}$

Фаза	$\delta$ , мм/с	$\langle \Delta \rangle$ мм/с	$\Gamma$ , мм/с	Area, %
$\text{Ba}_6\text{Mn}_{24}\text{O}_{48}$				
D1	0.37	0.41(1)	0.35(1)	30.9
D2	0.37	0.70(2)	0.40(5)	25.8
D3	0.36	1.10(1)	0.34(4)	20.7
D4	0.37	1.36(1)	0.35(1)	22.6
$\text{CaMn}_7\text{O}_{12}$				
D1	0.37	0.21	0.40	42.6
D2	0.37	0.53	0.36	57.4

(табл. 1), как и в случае мanganитов, обладающих структурой “идеального” перовскита [6, 7]. Действительно,  $\text{CaMn}_7\text{O}_{12}$  принадлежит к классу соединений с общей формулой  $\text{AC}_3\text{B}_4\text{O}_{12}$  и структурой искаженного перовскита (A – обычно катион щелочного, щелочноземельного или редкоземельного элемента, B –  $\text{Mn}^{4+}/\text{Fe}^{3+}$ ,  $\text{Ti}^{4+}$ ,  $\text{Ru}^{4+}$  или  $\text{Ge}^{4+}$ , C –  $\text{Cu}^{2+}$  или  $\text{Mn}^{3+}$ ) [4, 5]. Небольшие значения квадрупольных расщеплений обоих подспектров свидетельствуют о том, что  $^{57}\text{Fe}$  не может занимать искаженные позиции C с  $\text{K}\text{C} = 4 + 4$  и таким образом все зондовые атомы Fe(III) находятся в октаэдрических узлах B. Можно предположить, что компонента D2 с большим значением квадрупольного расщепления относится к части катионов  $\text{Fe}^{3+}(2)$ , замещающих изовалентные ян-теллеровские катионы  $\text{Mn}^{3+}(t_{2g}^3 e_g^1)$ , для которых следует ожидать наибольшего искажения кислородного октаэдрического окружения. Плохо разрешенный квадрупольный дублет D1 может быть отнесен к катионам  $\text{Fe}^{3+}$ , замещающим катионы  $\text{Mn}^{4+}$  со сферически-симметричной электронной конфигурацией  $t_{2g}^3 e_g^0$  и, как следствие, находящимся в практически неискаженном октаэдрическом окружении (рис. 1). Повышенный вклад компоненты D1 по сравнению с ожидаемой, исходя из кристаллохимических особенностей соединения, величиной 14–15% ( $\text{Mn}^{3+} : \text{Mn}^{4+} = 6 : 1$ ) может быть связан с предпочтительным вхождением катионов  $\text{Fe}^{3+}$  в позиции идеальных октаэдров  $\text{Mn}^{4+}$ .

Наличие зондовых атомов железа в единственной степени окисления +3 позволяет использовать для описания спектра  $\text{CaMn}_{6.86}^{57}\text{Fe}_{0.14}\text{O}_{12}$  модель непрерывного распределения значений констант квадрупольного взаимодействия  $e^2 q Q = 2\Delta$  ( $Q$  – квадрупольный момент ядра  $^{57}\text{Fe}$  в возбужденном состоянии). Симметричный вид и узкий профиль распределения (рис. 4) подтверждают, что катионы  $\text{Fe}^{3+}$  занимают близкие по своим па-



**Рис. 3.** Экспериментальные мессбауэровские спектры образцов  $\text{Ba}_6\text{Mn}_{23.76}^{57}\text{Fe}_{0.24}\text{O}_{48}$  и  $\text{CaMn}_{6.86}^{57}\text{Fe}_{0.14}\text{O}_{12}$  (экспериментальные точки изображены незакрашенными кружками). Наилучшие варианты разложения спектров на спектральные компоненты даны тонкими линиями. На врезке приведены пики антиферромагнитного перехода для контрольного образца  $\text{CaMn}_7\text{O}_{12}$  и образца  $\text{CaMn}_{6.86}\text{Fe}_{0.14}\text{O}_7$ , мессбауэровский спектр которого приведен на рисунке.

раметрам кристаллографические позиции, что соответствует практически идентичному ближайшему координационному окружению. Тот факт, что согласно кривой распределения существует доля катионов железа, находящихся в симметричных октаэдрических позициях с нулевым значением константы квадрупольного расщепления (рис. 4, точка A), находится в полном соответствии

с предположениями, сделанными на основании результатов дискретной модели. Таким образом, оба описания экспериментальных мессбауэровских спектров показывают, что зондовые атомы  $^{57}\text{Fe}$  встраиваются как в симметричные октаэдры  $\text{Mn}(\text{IV})\text{O}_6$ , так и в искаженные полигоны  $\text{Mn}(\text{III})\text{O}_6$ .

Мессбауэровский спектр образца  $\text{Ba}_6\text{Mn}_{23.76}^{57}\text{Fe}_{0.24}\text{O}_{48}$  значительно более сложен и,

по-видимому, не имеет аналогов среди манганитов типа  $\text{AMnO}_3$ . Спектр может быть описан суперпозицией четырех дублетов (или двух пар дублетов), имеющих примерно одинаковый вклад (табл. 1) и разные квадрупольные расщепления.

Подобная сложная структура спектра, по всей видимости, связана с уникальными особенностями кристаллической структуры  $\text{Ba}_6\text{Mn}_{24}\text{O}_{48}$ , которая может быть представлена в виде двух подрешеток: каркаса  $[\text{Mn}_{24}\text{O}_{48}]_{\infty}$  со статистически распределенными атомами Mn(IV) и Mn(III) и цепочек ионов  $\text{Ba}^{2+}$ , размещающихся в туннелях (рис. 1). Обе подрешетки обладают тетрагональной симметрией с параметрами  $a \sim 18.2 \text{ \AA}$  и  $c \sim 2.8 \text{ \AA}$ . Подрешетка марганца представляет собой комбинацию жестко сочлененных по ребрам “двойных колонок” октаэдров  $\text{Mn}_3\text{O}_6$  и  $\text{Mn}_1\text{O}_6$  и “одиночных” колонок октаэдров  $\text{Mn}_2\text{O}_6$ , связывающих “двойные колонки” и дающих “двойные” тунNELы типа D или тунNELы голландита H, а также формирующих тунNELы рутила R (рис. 1). Подрешетка бария является частично разупорядоченной: при переходе от туннеля к туннелю атомы бария могут смещаться вдоль направления  $z$ . В то же время [3] расположение атомов бария в туннелях типа D может обладать собственной периодичностью ( $c = 4.6 \text{ \AA}$ ), наблюдавшейся в доменах с характерным размером в несколько нанометров. Однако доказательств образования сверхструктуры ионами бария, размещенными в колонках голландита, не обнаружено. В табл. 1 приведены расстояния, характерные для различных типов марганец-кислородных полиздротов, существующих в структуре.

Очевидно, что искажение марганец-кислородных октаэдров в кристаллической структуре  $\text{Ba}_6\text{Mn}_{24}\text{O}_{48}$  зависит от способа сочленения полиздротов и степени разупорядочения атомов бария в туннелях. В силу этого описание мессбауэровского спектра суперпозицией двух дублетов, как для  $\text{CaMn}_{6.86}\text{Fe}_{0.14}\text{O}_{12}$ , оказывается невозможным. В отличие от  $\text{CaMn}_7\text{O}_{12}$  с достаточно “гибким”, легко искажающимся каркасом из сочлененных по вершинам октаэдров, сочленение октаэдров для фрагмента  $\text{Mn}_1\text{O}_6-\text{Mn}_3\text{O}_6$  фазы  $\text{Ba}_6\text{Mn}_{24}\text{O}_{48}$ , расположенного между туннелями D и H с тяжелыми катионами бария, является значительно более “жестким”. Это навязывает зондовым атомам

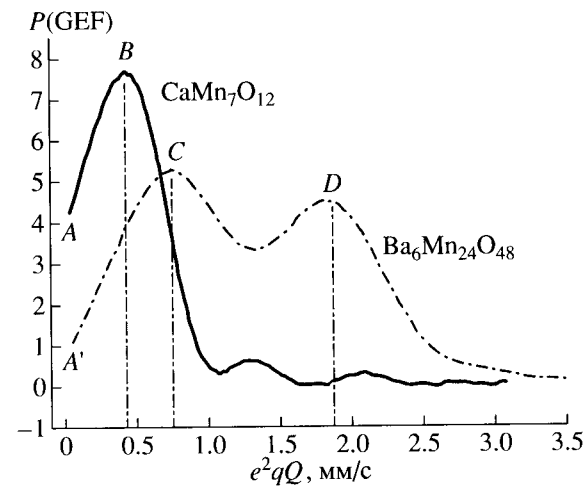


Рис. 4. Описание мессбауэровских спектров образцов  $\text{Ba}_6\text{Mn}_{23.76}^{57}\text{Fe}_{0.24}\text{O}_{48}$  и  $\text{CaMn}_{6.86}^{57}\text{Fe}_{0.14}\text{O}_7$  в рамках модели непрерывного распределения.

железа, находящимся в данном фрагменте, искажения, характерные для исходной системы сочлененных по ребрам октаэдров марганец-кислород, что предопределяет величины квадрупольных расщеплений зондовых атомов в “двойных колонках”. Принимая во внимание это предположение, компонента D1 ( $\Delta_1 = 0.41 \text{ mm/s}$ ), согласно данным табл. 2, должна отвечать полиздрам  $\text{Fe}(\text{III})_{\text{Mn}_3}\text{O}_6$ , а компонента D2 ( $\Delta_2 = 0.70 \text{ mm/s}$ ) –  $\text{Fe}(\text{III})_{\text{Mn}_1}\text{O}_6$ .

Обе компоненты D3 и D4 с большими квадрупольными расщеплениями ( $1.10-1.36 \text{ mm/s}$ ) могут отвечать зондовым атомам железа, находящимся в позиции марганца Mn2, для которой характерно наибольшее искажение октаэдров, в частности, за счет увеличения расстояний до двух противоположных атомов кислорода ( $2.108$  и  $2.292 \text{ \AA}$ , табл. 2). Существование двух компонент, отвечающих одной и той же кристаллографической позиции марганца Mn2, объясняется дополнительными искажениями в структуре, которые не могут быть отражены в ее идеализированной кристаллографической модели, полученной дифракционными методами. Однако их наличие с необходимостью вытекает из отмеченных выше структурных особенностей фазы  $\text{Ba}_6\text{Mn}_{24}\text{O}_{48}$  [3].

Таблица 2. Усредненные длины связей марганец-кислородных полиздротов в образцах  $\text{Ba}_6\text{Mn}_{24}\text{O}_{48}$  и  $\text{CaMn}_7\text{O}_{12}$ ,  $\text{\AA}$  (по данным [3])

Полиздр → Фаза	Mn1–O	Mn2–O	Mn3–O
$\text{CaMn}_7\text{O}_{12}$	1.900 ( $\times 2$ ), 1.916 ( $\times 2$ )	1.891 ( $\times 2$ ), 2.028 ( $\times 2$ ), 2.038 ( $\times 2$ )	1.907 ( $\times 6$ )
$\text{Ba}_6\text{Mn}_{24}\text{O}_{48}$	1.888 ( $\times 2$ ), 1.957 ( $\times 2$ ), 1.960, 2.129	1.905 ( $\times 2$ ), 1.945 ( $\times 2$ ), 2.108, 2.292	1.928 ( $\times 2$ ), 1.936 ( $\times 2$ ), 1.939, 2.233

В частности, неоднородность (“доменность”) распределения ионов бария в туннелях должна приводить геометрически к локальномуискажению близлежащих полиздротов. Именно “одиночные” колонки, связанные друг с другом лишь вершинами и окружающие незаполненные тунNELы типа R, должны в подобном случае подвергаться наибольшей деформации, что проявляется в наличии в спектре двух различных компонент D3 и D4. Перераспределение заряда в структуре, вызванное неоднородностью распределения бария, может приводить лишь к дополнительному усилению подобных локальных искажений.

Описание локальной структуры  $\text{Ba}_6\text{Mn}_{24}\text{O}_{48}$  в рамках дискретной модели, в отличие от случая  $\text{CaMn}_7\text{O}_{12} : {}^{57}\text{Fe}$ , менее предпочтительно, чем использование модели непрерывного распределения октаэдров по степени искажения. Действительно,  $\text{Ba}_6\text{Mn}_{24}\text{O}_{48}$  имеет модулированную структуру ([3], рис. 2, участок спектра A). Поэтому даже при никогда не достигаемой гипотетической идентичности первой координационной сферы влияние соседей второго порядка должно быть велико, что с неизбежностью приводит к непрерывному изменению величины градиента электрического поля. При подобном описании спектра (рис. 4) распределение градиентов электрического поля характеризуется двумя значительно уширенными максимумами, положение которых соответствует с достаточной степенью точности квадрупольным расщеплениям, предполагаемым для зондовых атомов, находящихся в “двойных” и “одиночных” колонках.

Таким образом, в исследованных каркасных мanganитах щелочно-земельных металлов зондовые атомы железа преимущественно входят в позиции атомов марганца в октаэдрическом кислородном окружении и находятся в степени окисления +3. При этом спектральные характеристики компонент мессбауэровских спектров существенно зависят от искажений полиздротов, существующих в исходной структуре и определяющихся типом сочленения полиздротов каркаса и распределением металлических атомов в туннелях структуры.

Работа поддержана РФФИ (грант 02–03–33263), Программой “Ведущие научные школы” (грант 00–15–97435) и Программой синхротронных исследований Австралии.

## СПИСОК ЛИТЕРАТУРЫ

1. Уэллс А. Структурная неорганическая химия. М.: Мир, 1987. Т. 2. 256 с.
2. Rao C.N.R., Arulraj A., Cheetham A.K., Raveau B. // J. Phys.: Condens. Matt. 2000. V. 12. P. R83–R106.
3. Boullay Ph., Hervieu M., Raveau B. // J. Solid State Chem. 1997. V. 132. P. 239–248.
4. Zeng Z., Greenblatt M., Sunstrom J.E. et al. // J. Solid State Chem. 1999. V. 147. P. 185–198.
5. Przenioslo R., Sosnowska I., Hohlwein D. et al. // Solid State Commun. 1999. V. 111. P. 687–692.
6. Fawcett I.D., Veith G.M., Greenblatt M. et al. // Solid State Sci. 2000. V. 2. P. 821–831.
7. Hernández T., Plazaola F., Rojo T., Barandiran J.M. // J. Alloys and Comp. 2001. V. 323–324. P. 440–443.
8. Гудилин Е.А., Померанцева Е.А., Горбенко О.Ю. и др. // ДАН. 2000. Т. 372. № 4. С. 495–499.